

논문 19-7-11

소결 조건에 따른 ZnO 바리스터의 미세구조 및 전기적 특성

Electrical and Microstructure Properties on Sintering Conditions of ZnO Varistor

윤종락^{1,a}, 정태석¹, 이현용², 이석원³

(Jung-Rag Yoon^{1,a}, Tae-Serk Chung¹, Heun-Young Lee², and Serk-Won Lee³)

Abstract

Microstructure and electrical properties of ZnO varistors as a function of sintering temperature and times were investigated. Sintering temperature and times greatly affected electrical properties and Bi-rich liquid phase of the microstructure. The varistor which were sintered at 1125 °C ~ 1150 °C, for 2 hr exhibited the varistor voltage(V_c), nonlinear coefficient (V_{10mA}/V_{1mA}), leakage current(I_L), dielectric constant and dissipation factor as 225 ~ 250 V/mm, 0.89 ~ 0.92, 0.8 ~ 1.1 μA, 720 ~ 740 and 1.8 ~ 2.0 %, respectively.

Key Words : ZnO varistor, Varistor voltage (V_c), Dielectric properties

1. 서 론

바리스터는 전압 비직선 저항기로서 정상 전압이 인가시 절연체로서 작용하지만 정상 전압 이상의 전압, 전류가 인가되면 도체로 작동하여 비직선적인 전압-전류 특성을 나타내는 소자이다. ZnO 바리스터는 높은 비직선성과 고 에너지 흡수성을 가지므로 반도체 소자나 전자기기의 과전압 보호에 적용되고 있으며 충격전류에 대한 응답특성이 양호하여 정보통신기기, 전력용 파뢰기소자로서 사용되고 있다. ZnO 바리스터 세라믹스는 첨가제에 따라 몇 가지로 구분되나 일반적으로 Matsuoka에 의해 제안된 ZnO-Bi₂O₃-Sb₂O₃-MO(M=Mn,Cr,Co)가 있으며 각 첨가물은 입성장 억제 및 촉진, 에너지 내량 증진, 비직선성 개선, 신뢰성 개선등의 역할을 한다[1]. 최근에는 Nahm등에 의해 에너지 흡

수능력이 뛰어난 Zn-Pr-Co-M (Nd,Er,Dy)계 바리스터의 연구가 활발히 이루어지고 있다[2]. Bi계 바리스터의 전기적 특성은 ZnO 입자, Bi 입계층 및 입계에 존재하는 spinel상등에 의해 결정되며 세라믹 소결과정에 따라 동일조성이라도 소결시온도, 분위기, 냉각속도에 의해 특성이 변화한다 [2-5]. 따라서 본 논문에서는 소결온도 및 시간을 변화시켜 소결온도에 따른 미세구조 및 상변화를 확인하였다. 또한, 이에 따른 ZnO 바리스터 전류, 전압특성을 고찰하고 유전특성과의 연관성을 조사하였다.

2. 실 험

바리스터의 조성은 ZnO을 주원료로 하고 첨가제로 Bi₂O₃, Sb₂O₃, Nd₂O₃, CoO, Cr₂O₃, MnO₂, NiO를 사용하였으며 주 조성은 표 1과 같다.

각각의 원료를 조성식에 맞게 칭량한 후 YTZ ball과 순수를 매체로하여 24시간 동안 볼밀 하였다. 혼합된 슬리리에 PVA, 이형제등을 첨가 후 스프레이 드라이어를 이용하여 40~100 μm의 과립을 형성하였다. 과립을 직경 15 mm금형을 이용하여 높이 2.5 mm의 성형체를 성형한 후 전기로를 이용

1. 삼화콘덴서 연구소

(경기 용인시 남사면 북리 124)

2. 명지대학교 전기공학과

3. 호서대학교 정보제어공학과

a. Corresponding Author : yoonjungrag@yahoo.co.kr

접수일자 : 2006. 4. 24

1차 심사 : 2006. 5. 10

심사완료 : 2006. 6. 2

표 1. ZnO 바리스터 주요 성분조성.

Table 1. Composition of ZnO varistor(mol%).

ZnO	Sb ₂ O ₃	Bi ₂ O ₃	CoO	MnO ₂	Nd ₂ O ₃	NiO	Cr ₂ O ₃
95.8	1.25	0.7	0.75	0.75	0.2	0.4	0.15

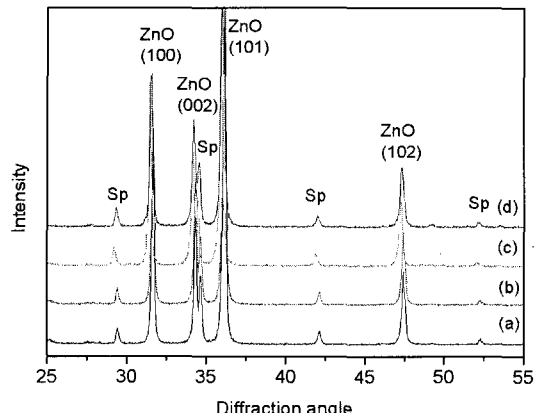


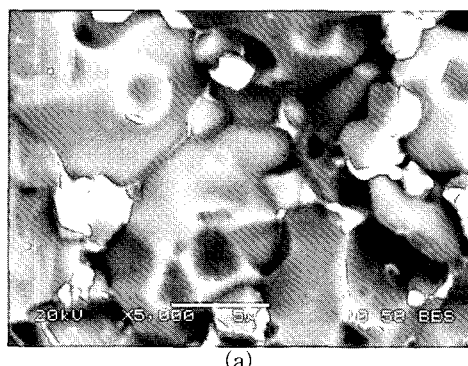
그림 1. 소결온도에 따른 XRD 결과.

(a) 1100 °C (b) 1125 °C (c) 1150 °C (d)
1175 °C

Fig. 1. X-ray diffraction pattern as a function of sintering temperature.

(a) 1100 °C (b) 1125 °C (c) 1150 °C (d)
1175 °C

하여 소결하였다. 소결시 승온속도는 분당 5 °C로 하였으며 600 °C에서 2시간 탈 바인더 후 1100 ~ 1175 °C의 온도 범위에서 소결 온도를 0.3 ~ 12시간 소결하였다. 소결 제품에 은(Ag) 전극을 도포한 후 550 °C에서 소결하여 리드선을 부착하여 에폭시 코팅 후 전기적 특성을 측정하였다. 전류-전압 특성은 High Voltage Source measure Unit (Keithley사, 237)을 이용하여 측정하였으며 바리스터 전압(V_{ImA})은 전류가 1 mA일 때의 전압이고 누설전류(I_L)는 0.80 V_{ImA} 에서의 전류이다. 유전특성은 Impedance Analyzer (HP사, 4294A)로 100 ~ 10 MHz 범위의 주파수에 따른 용량 및 손실을 측정하였다. 시편의 미세구조 및 성분분석은 EDS를 부착한 SEM(JSM-6360, Joel)를 이용하였으며 결정상 분석은 X-선 회절분석기(Rigaku, D-max 2200)를 이용하였다.



(a)

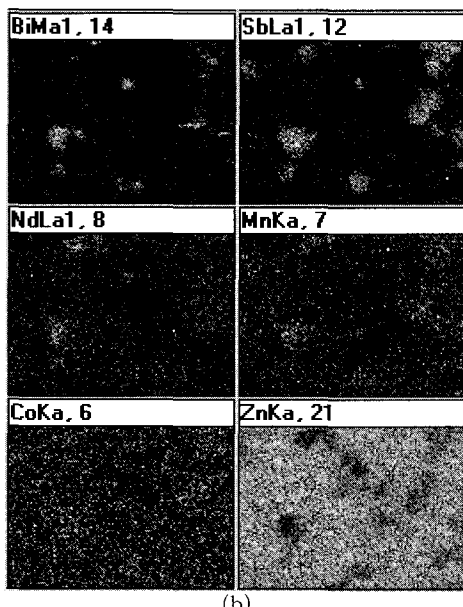
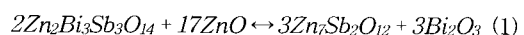


그림 2. 1125 °C에서 소결한 바리스터 파단면 SEM 사진 및 EDS 분석 결과.

Fig. 2. SEM micrographs and EDS analysis results of the varistors sintered at 1125 °C for 2 h.

3. 결과 및 검토

그림 1은 소결온도에 따른 X-선 분석 결과로서 주로 ZnO상과 Zn₇Sb₂O₁₂ ($a=8.58 \text{ \AA}$), Co₇Sb₂O₁₂ ($a=8.55 \text{ \AA}$) spinel상이 나타나고 있다. 일반적으로 Bi 바리스터에서 소결과정 중 식 (1) 같은 반응에 의해 상 형성이 되는 것으로 알려져 있으며 상 분석 결과 동일한 결과를 얻을 수 있었다[1].



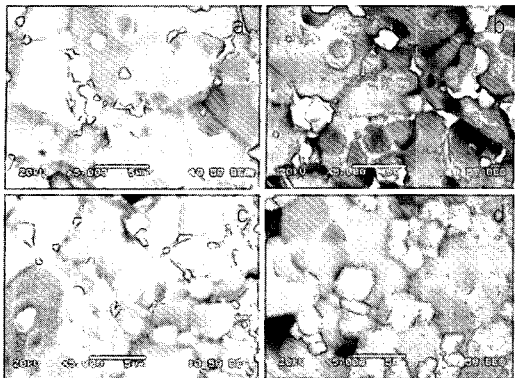


그림 3. 소결온도에 따른 바리스터 파단면 SEM 사진.
(a) 1100 °C (b) 1125 °C (c) 1150 °C (d) 1175 °C

Fig. 3. SEM micrographs of the varistors as a function of sintering temperature.
(a) 1100 °C (b) 1125 °C (c) 1150 °C (d)
1175 °C

소결온도에 따른 상변화는 확인할 수 없으나 소성온도 증가에 따라 XRD 피크가 저각으로 이동함을 볼 수 있다.

그림 2(a)는 1125 °C에 소결한 바리스터의 파단면의 미세구조를 SEM의 BEI(Back Scatter Electron Image)로 나타낸 것이고 그림 (b)는 성분별 EDS mapping한 결과이다.

BEI의 경우 원자량이 클수록 흰색으로 나타나는 데 Bi 이온이 많이 함유된 입계상이 보다 흰색으로 나타남을 볼 수 있다. 파단면의 미세구조를 보면 ZnO 입자, spinel 입자, 입계상(Bi-rich)으로 구성되어 있으며 특히 spinel입자들은 입계와 multiple junction(triple, quadruple)에 존재함을 볼 수 있다. EDS 분석결과 첨가제에서 천이금속 산화물인 Co, Mn 이온은 비교적 균일하게 분포되어 있음을 볼 수 있으며 Co, Mn 이온의 대부분이 ZnO 입자내로 고용될 것으로 예상된다. 반면 spinel상을 구성하는 Sb 이온의 경우 ZnO와 반응하여 $Zn_7Sb_2O_{12}$ 상으로 존재함을 볼 수 있으며 바리스터의 비오음 특성을 설명하는 입계층은 Bi 이온이 주로 나타남을 볼 수 있다.

그림 3은 소결온도에 따른 파단면의 미세구조로서 입자성장보다는 입자 계면에서의 Bi-rich 상과 spinel 상의 분포가 차이가 나타남을 볼 수 있다. 소결온도에 따라 1150 °C 까지는 spinel의 분포 및 Bi-rich 액상이 비교적 균일하게 분포하나 1175 °C

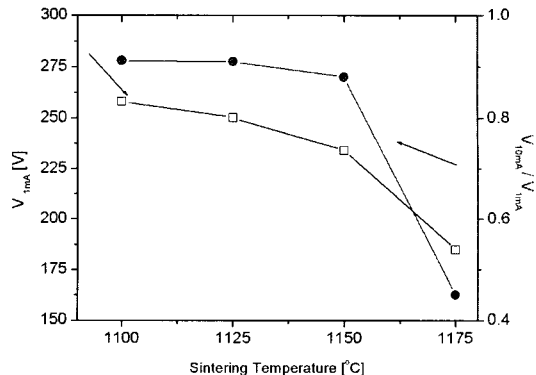


그림 4. 소결온도에 따른 바리스터 전압 V_{1mA} 및 V_{10mA}/V_{1mA} 특성.

Fig. 4. Varistor Voltage V_{1mA} and V_{10mA}/V_{1mA} of the varistors as a function of sintering temperature.

에서는 입계에서의 Bi-rich상이 나타나지 않음을 볼 수 있다. 이와 같은 결과는 소성온도에 증가에 따라 액상으로 존재하는 Bi-rich 상이 모세관 현상으로 인해 입계에 존재하지 않은 경우와 휘발에 의해 나타나는 현상으로 판단된다.

그림 4는 소결온도에 따른 바리스터 전압 V_{1mA} 와 바리스터의 비직선 특성을 나타내는 V_{10mA}/V_{1mA} 의 특성이다. 그림에서 나타나듯이 소결온도가 증가 할수록 바리스터 전압이 감소함을 볼 수 있으며 특히 1175 °C에서는 급격히 감소하였다. 일반적으로 바리스터 전압은 전류가 흐르는 전도경로에 절연성을 가지는 입계의 수에 따라 변화하며 결정립이 클수록 감소하는 것으로 알려져 있다[5]. 본 논문의 미세구조에서는 파단면을 확인하여 소결온도에 따른 결정립의 크기는 확인할 수는 없었으나 소결온도가 증가함에 따른 결정립의 크기를 제어하는 액상 성분이나 2차상의 분포가 달라져 나타난 결과로 예측된다. 바리스터의 비직선 특성을 나타내는 V_{10mA}/V_{1mA} 의 경우 소결온도에 1150 °C까지는 변화가 크게 나타나지 않지만 1175 °C에서 급격히 감소함을 볼 수 있다. 이와 같은 결과는 적절한 비직선 특성을 가지기 위해서는 미세구조의 균일성, ZnO 입내저항 및 입계 이온의 종류 및 농도에 영향을 받는 것으로 알려져 있다. 특히, 입계에서는 최소한의 Bi-rich상이 존재하여야 하나 1175 °C 소결에서는 휘발에 의한 입계층을 형성하는 Bi-rich상이 적으면서 조성변화에 의한 활성화 에너지 감소에 의해 급격히 저하되는 것으로 판단된다.

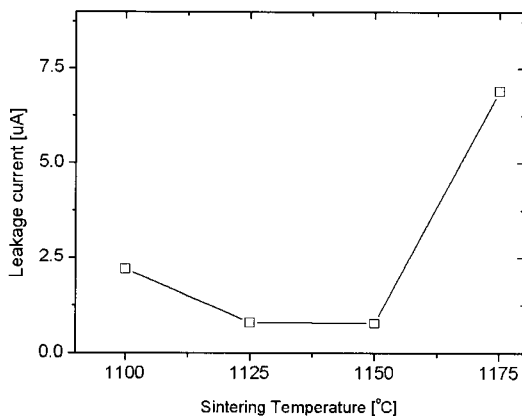


그림 5. 소결온도에 따른 바리스터 누설전류.

Fig. 5. Varistor leakage current of the varistors as a function of sintering temperature.

그림 5는 소결온도에 따른 누설전류 특성으로 소결온도에 따라 특성 차이가 나타남을 볼 수 있다. 특히, 1175 °C에서 누설전류 값이 높게 나타나고 있지만 저온인 1100 °C에서도 누설전류 값이 큰 것으로 보아 결정립계의 액상 분포 뿐만 아니라 액상 성분인 Bi-rich 및 소결성에 따라 절연성이 달리 나타남을 볼 수 있다. 누설전류의 크기는 바리스터 등가회로에서는 입계에 의한 저항, 입계 계면에서의 저항에 의한 것임을 고려할 때 1175 °C에서의 누설전류 증가는 높은 절연성(상온에서 Bi_2O_3 의 경우 비저항은 $10^{13} \Omega \cdot \text{cm}$)을 가지는 입계 계면을 형성하는 Bi-rich상의 부족에 의한 것으로 판단된다[6]. 반면 1125에서 1150 °C 구간에서 누설전류가 감소하는 것은 비저항 성분이 높은 Bi-rich상의 분포에 의한 영향뿐 만아니라 적정 소결온도에서의 기공이 적어 나타는 결과로 판단된다.

그림 6은 1125 °C에서 소결온도를 달리한 경우의 바리스터 전압 및 V_{10mA}/V_{1mA} 특성으로 소결시간이 2시간까지는 증가하는 양상을 보이지만 4시간 이상부터는 감소하는 양상을 보이며 특히, 12시간인 경우 급격히 감소함을 볼 수 있다. 2시간 이하에서는 소결성의 향상에 의해 증가하는 양상을 보이지만 4시간 이상부터는 Bi의 휘발에 의해 절연층을 형성하는 결정립계면 액상 분포 및 조성 변화에 의한 것으로 예상된다. 이와 같은 결과는 Co의 첨가가 바리스터 특성을 개선시키는 이유는 Co가 ZnO grain 내부에서는 Co^{2+} 와 Co^{3+} 가 공존하는데 비하여 입계면에서는 Co^{3+} 로 존재하고 Bi-rich 액상 휘발을 적게 하여 높은 산화 상태를 안정화 시킨다는 보고와 유사하다[7].

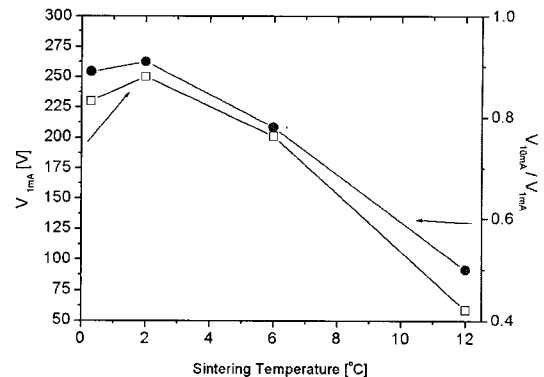
그림 6. 소결시간에 따른 바리스터 전압 및 V_{10mA}/V_{1mA} 특성(1125 °C 소결).

Fig. 6. Varistor Voltage V_{1mA} and V_{10mA}/V_{1mA} of the varistors as a function of sintering time(sintered Temperature : 1125 °C).

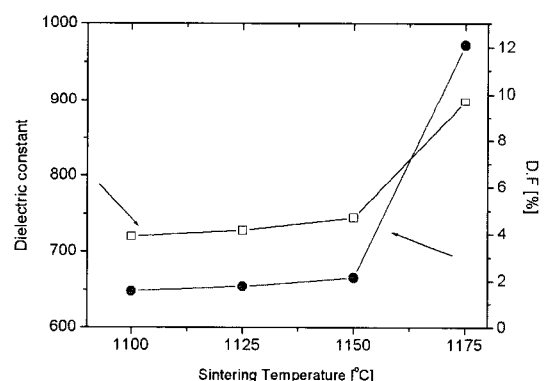


그림 7. 소결온도에 따른 유전율 및 손실.

Fig. 7. Dielectric constant and dissipation factor of the varistors as a function of sintering temperature.

그림 7은 소결온도에 따른 유전율 및 유전손실 특성으로 바리스터 전압과 유사한 경향을 볼 수 있으며 유전율은 결정립의 크기와 입계 장벽에 의해 결정되는 것으로 알려져 있다[7]. 소결온도가 1150 °C까지는 일정한 값을 보이나 1175 °C에서 급격한 증가를 보이는 것은 결정립의 크기에 의한 것보다는 입계를 중심으로 한 공간진하층의 폭에 의한 것으로 예상된다. 유전손실의 경우는 그림 5에서 나타난 바와 같이 유전체와 동일한 현상으로 누설 전류 증가 시 손실이 증가하는 결과를 보여준다.

4. 결 론

- 본 논문에서는 ZnO 바리스터 소결온도 및 시간에 따른 실험결과 다음과 같은 결론을 얻었다.
1. 소결온도 및 시간에 따른 미세구조 및 성분분석 결과 1150 °C, 4시간까지는 첨가제인 Co, Mn이 온과 입계상의 분포가 일정하지만 1175 °C, 6시간부터는 Bi-rich 입계상의 분포가 달라짐이 확인되었다.
 2. 바리스터 전압, V_{10mA}/V_{1mA} 및 누설전류는 미세구조의 변화에서와 같이 Bi-rich 입계상이 적은 소결온도 및 시간 범위에서 급격히 저하됨을 확인 할 수 있었다.
 3. 소결온도에 따른 유전율 및 손실 값은 1175 °C에서 급격히 증가함을 볼 수 있었으며 결정립의 크기에 의한 결과보다는 공간 전하층에 의한 원인으로 예상된다.
 4. 1125 °C, 2시간 소결조건에서 바리스터 전압 250 V/mm, 비직선 계수 V_{10mA}/V_{1mA} 0.92, 누설 전류 1.1 μA의 특성을 얻을 수 있었다.

참고 문헌

- [1] M. Matsuoka, "Nonohmic properties of ZnO oxide ceramics", Jan. J. App. Phys., Vol. 10,
- No. 5, p. 36, 1971.
- [2] C.-W. Nahm and H.-S. Kim, "Effect of $\text{Pr}_6\text{O}_{11}/\text{CoO}$ mole ratio on nonliner properties and DC acclerated aging characteristics of $\text{ZnO}-\text{Pr}_6\text{O}_{11}-\text{CoO}-\text{Dy}_2\text{O}_3$ based varistors," Mater. Lett., Vol. 56, No. 4, p. 279, 2002.
- [3] 남춘우, 윤한수, 류정선, "ZPCCE계 바리스터의 미세구조와 전기적 성질 및 안정성", 전기전자재료학회논문지, 13권, 9호, p. 735, 2001.
- [4] 김석수, 최익순, 박태곤, 조이곤, 박춘현, "소결 조건 변화에 따른 직류 피뢰기용 ZnO 바리스터의 미세구조 및 전기적 성질에 관한 연구", 전기전자재료학회논문지, 17권, 6호, p. 683, 2004.
- [5] 조현무, 이종덕, 박상만, 이성갑, "Glass 첨가량에 따른 ZnO 바리스터의 전기적 특성", 전기전자재료학회논문지, 18권, 9호, p. 815, 2005.
- [6] D. R. Clarke, "Grain-boundary segregration in a commercial ZnO based varistor", J. Appl. Phys., Vol. 50, No. 11, p. 6820, 1979.
- [7] T. Senda and R. C. Bradt, "Grain growth of ZnO oxide during the sintering of ZnO oxide-antimony oxide ceramics", J. Am. Ceram. Soc., Vol. 74, No. 6, p. 1296, 1991.